

$z$ -компоненты ( $\mathbf{H} \parallel z$ ) намагниченности магнитопримесной подсистемы  $\langle S_z \rangle$  определяется выражением

$$\langle S_z \rangle = -S_0 B_{s_{1/2}}(5g\mu_B H/2k(T + T_0)).$$

Здесь  $B_{s_{1/2}}(a)$  — функция Бриллюэна,  $g=2$ ,  $\mu_B$  — магнетон Бора,  $S_0$  — величина насыщения намагниченности,  $(T + T_0)$  — эффективная температура. Значения параметров  $S_0$  и  $T_0$  оценивались по магнитолевой зависимости расщепления  $\Delta E(H)$  и из температурной зависимости фарадеевского вращения  $\theta(T)$  соответственно. Значения параметров  $S_0$ ,  $T_0$  вместе в оцененной величиной  $N_0(J_e + J_h)$  согласуются с соответствующей оценкой при исследовании межзонного эффекта Фарадея для состава  $x=0.03$  [1] (см. таблицу).

Параметры,  
характеризующие обменное взаимодействие  
в магнитосмешанных кристаллах  $Pb_{1-x}Mn_xI_2$

$x$	$\Delta E_{экс.}, \text{ мэВ}$ ( $H = 30 \text{ кЭ}, T = 5 \text{ К}$ )	$S_0$	$T_0, \text{ К}$	$N_0(J_e + J_h), \text{ эВ}$
0.05	$3.0 \pm 0.5$	0.7	1.0	$-0.05 \pm 0.02$
0.08	$3.5 \pm 0.5$	0.5	1.5	$-0.06 \pm 0.02$

Совокупность полученных для кристаллов  $Pb_{1-x}Mn_xI_2$  экспериментальных данных — наличие спинового расщепления экситонной линии, характерная магнитолевая зависимость величины расщепления, форма дисперсионной кривой фарадеевского вращения, магнитолевая и температурная зависимости эффекта Фарадея — свидетельствуют о том, что для них весьма существенны эффекты  $s, p-d$  обменного взаимодействия. Открытым пока остается вопрос о том, какое именно своеобразие в проявлении  $s, p-d$  обменного взаимодействия привносит слоистая структура исследуемых твердых растворов  $Pb_{1-x}Mn_xI_2$ .

#### Л и т е р а т у р а

- [1] Абрамишвили В. Г., Комаров А. В., Рябченко С. М. и др. ФТТ, 1987, т. 29, № 4, с. 1129—1134.
- [2] Бродин М. С., Блонский И. В., Каратаев В. Н. и др. ФТТ, 1987, т. 29, № 6, с. 1723—1729.
- [3] Савчук А. И., Деркач Б. Е., Ватаманюк П. П., Ляхович А. Н. Тез. докл. Всес. конф. «Тройные полупроводники и их применение». Кишинев, 1987, т. 2, с. 137.
- [4] Савчук А. И., Деркач Б. Е., Ляхович А. Н. ФТП, 1987, т. 21, № 9, с. 1721—1723.
- [5] Савчук А. И., Деркач Б. Е., Ватаманюк П. П. ФТП, 1988, т. 22, № 3, с. 512—514.

Черновицкий  
государственный университет  
Черновцы

Поступило в Редакцию  
30 марта 1988 г.  
В окончательной редакции  
25 мая 1988 г.

## КОЭФФИЦИЕНТ ДИФФУЗИИ ВИНТОВЫХ ДИСЛОКАЦИЙ МЕХАНИЗМОМ ДВОЙНОГО ПОПЕРЕЧНОГО СКОЛЬЖЕНИЯ

Г. А. Малыгин

Винтовые дислокации, перемещаясь в своей основной плоскости скольжения, могут из нее выходить в параллельную плоскость механизмом двойного поперечного скольжения (ДПС). Экспериментальным свиде-

тельством существования ДПС являются микроступеньки на линиях скольжения и связанная с ними характерная волнистость линий. Как сейчас установлено (см., например, [1]), двойное поперечное скольжение — один из основных механизмов размножения дислокаций в пластически деформируемом кристалле, в значительной мере определяющий эволюцию его дислокационной структуры. Поэтому изучение характеристик ДПС, в том числе и пространственно-кинетических, представляет существенный интерес.

Целью настоящей работы является теоретический расчет коэффициента диффузии винтовых дислокаций механизмом двойного поперечного скольжения. Ранее этот вопрос кратко обсуждался в [2]. Мы рассмотрим его более подробно и сделаем количественные оценки применительно к разным экспериментальным ситуациям.

Результаты [1] показывают, что двойное поперечное скольжение развивается как случайный процесс, инициируемый препятствиями для перемещения дислокаций в плоскости скольжения, в результате чего движение винтовых отрезков дислокаций конечных размеров в поперечном к этой плоскости направлении  $y$  имеет характер случайных блужданий. При наличии градиента плотности дислокаций  $\partial\rho/\partial y$  величина соответствующего ему диффузионного потока  $j_y = -D\partial\rho/\partial y$  определяется коэффициентом диффузии  $D = 1/2 (h^2/t_s) W(h)$ , где  $h$  — высота выброса винтового сегмента в плоскости поперечного скольжения;  $t_s = \lambda_s/v$ ,  $\lambda_s$  — время пробега и расстояние между препятствиями в основной плоскости;  $v$  — скорость дислокаций;  $W = e^{-ph/b}$  — вероятность выброса сегмента на величину  $h$  [3];  $p$  — параметр, характеризующий способность возвращения отрезка в плоскость скольжения, параллельную основной плоскости;  $b$  — вектор Бюргерса. Коэффициент  $1/2$  учитывает равновероятность выброса сегмента вверх и вниз относительно плоскости скольжения. Принимая во внимание сказанное, находим, что  $D(h) = \lambda_D(h)v$ , где  $\lambda_D(h) = 1/2 \cdot (h^2/\lambda_s) e^{-ph/b}$  — диффузионная длина. Ее парциальное значение в интервале выбросов  $h_1$  и  $h_2$  равно

$$\lambda_D(h_1, h_2) = \frac{1}{2\lambda_s} \frac{\int_{h_1}^{h_2} h^2 e^{-ph/b} dh}{\int_0^{\infty} e^{-ph/b} dh}, \quad h_2 > h_1. \quad (1)$$

В зависимости от величины  $h_1$  и  $h_2$  двойное поперечное скольжение может сопровождаться или не сопровождаться размножением винтовых дислокаций. Если

$$0 < h_2 \leq h_0 = \mu b / \delta \pi (1 - \nu) (\tau - \tau_c), \quad (2)$$

где  $\mu$  — модуль сдвига,  $\nu$  — коэффициент Пуассона,  $\tau$  и  $\tau_c$  — приложенное напряжение и напряжение трения, то плечи образующегося при ДПС краевого диполя не могут разойтись и размножения винтовых дислокаций не происходит. Полагая в (1)  $h_1 = 0$ ,  $h_2 = h_0$ , находим, что соответствующая этому случаю парциальная диффузионная длина равна

$$\lambda_D(0, h_0) = \frac{h_0^2}{\lambda_s} \left(\frac{b}{ph_0}\right)^2 \left[1 - \left(1 + \frac{ph_0}{b} + \frac{1}{2} \left(\frac{ph_0}{b}\right)^2\right) e^{-ph_0/b}\right]. \quad (3)$$

При  $h_1 > h_0$  краевой диполь не образуется, что приводит к генерированию в параллельной плоскости скольжения одной или нескольких дислокационных петель. Соответственно имеем

$$\lambda_D(h_0, \infty) = \frac{h_0^2}{\lambda_s} \left(\frac{b}{ph_0}\right)^2 \left[1 + \frac{ph_0}{b} + \frac{1}{2} \left(\frac{ph_0}{b}\right)^2\right] e^{-ph_0/b}. \quad (4)$$

Наконец, при  $h_1 = 0$ ,  $h_2 = \infty$  получаем полную диффузионную длину

$$\lambda_D = \lambda_D(0, \infty) = \frac{h_0^2}{\lambda_s} \left(\frac{b}{ph_0}\right)^2. \quad (5)$$

В опытах [1] найдено, что в примесных ШГК кристаллах величина  $\rho h_0/b$  не зависит от чистоты кристалла и состояния примесей и равна приближительно единице.<sup>1</sup> Подставляя это значение в (3)–(5), находим, что

$$\lambda_D(0, h_0) \approx 0.1 h_0^2 / \lambda_s, \quad \lambda_D(h_0, \infty) \approx 0.9 h_0^2 / \lambda_s, \quad \lambda_D = h_0^2 / \lambda_s. \quad (6)$$

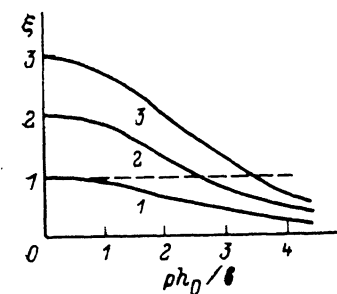
Следовательно, основной вклад в  $\lambda_D$  вносят выбросы с  $h > h_0$ , хотя вероятность их меньше, чем выбросов с  $h < h_0$ . Поскольку эти выбросы сопровождаются размножением винтовых дислокаций, полный дислокационный поток в результате ДПС равен

$$j_y = [m \lambda_D(h_0, \infty) - \lambda_D(0, \infty)] v \frac{\partial \rho}{\partial y} = (\xi - 1) \lambda_D v \frac{\partial \rho}{\partial y}, \quad (7)$$

где

$$\xi = m \frac{\lambda_D(h_0, \infty)}{\lambda_D(0, \infty)} = m \left[ 1 + \frac{\rho h_0}{b} + \frac{1}{2} \left( \frac{\rho h_0}{b} \right)^2 \right] e^{-\rho h_0/b} \quad (8)$$

— коэффициент размножения дислокационного потока;  $m$  — число петель, генерируемых при одном акте ДПС. Зависимость  $\xi$  от  $m$  и  $\rho h_0/b$  приведена на рисунке, из которого видно, что при не слишком больших значениях  $\rho h_0/b \approx 1 \div 2$  и  $m \geq 2$  величина  $\xi$  может быть больше единицы. Эффективный коэффициент диффузии  $D = (1 - \xi) \lambda_D v$  становится при этом отрицатель-



Зависимость коэффициента размножения дислокационного потока  $\xi$  от величины  $\rho h_0/b$  и числа генерируемых при одном акте ДПС дислокационных петель.  $m=1$  (1), 2 (2), 3 (3).  $\xi$

ным, а диффузионный поток меняет знак и превращается в размножающийся дислокационный поток.

Сделаем количественные оценки характерных длин диффузии  $\lambda_D^* = h_0^2 / \lambda_s$  для двух случаев: 1) когда препятствиями являются примеси и примесные выделения, 2) препятствиями служат дислокации леса с плотностью  $\rho_f$ .

В [1] эмпирически установлено, что в примесных ШГК кристаллах пробег дислокаций между актами ДПС обратно пропорционален критическому напряжению сдвига  $\lambda_s/b \approx 50 \mu / \tau_c$ . Полагая в (2)  $\tau - \tau_c = 0.5 \tau_c$ , находим, что  $\lambda_D^*/b \approx 2 \cdot 10^{-4} \mu / \tau_c$ . Поскольку  $\tau_c \sim c^{1/2}$ , где  $c$  — концентрация препятствий на плоскости скольжения, величина  $\lambda_D^*$  тем меньше, чем больше плотность препятствий. Для типичных значений  $\tau_c/\mu \approx 10^{-4} \div 10^{-3}$  получаем  $\lambda_D^* = (0.2 \div 2) b$ . Малая величина  $\lambda_D^*$  по сравнению с высотой критического диполя  $h_0 \approx (10^2 \div 10^3) b$  связана с большими пробегами дислокаций между актами ДПС 10–100 мкм.

В случае дислокаций леса  $\lambda_s \approx 10^2 \rho_f^{1/2}$  [1]. Полагая в (2)  $\tau - \tau_c = \alpha \mu b \rho_f^{1/2}$ , где  $\alpha \approx 0.5$  — константа междислокационного взаимодействия, находим, что  $\lambda_D^* \approx 1.0^{-4} \rho_f^{1/2}$ . При  $\rho_f = 10^8 \div 10^{10} \text{ см}^{-2}$  получаем оценку  $\lambda_D^*$ , на порядок меньшую, чем в предыдущем случае.

Таким образом, результаты расчета показывают, что коэффициент диффузии винтовых дислокаций является структурно чувствительным параметром. Его величина тем больше, чем больше расстояние между препятствиями, инициирующими двойное поперечное скольжение. В зависимости от величины параметра  $\xi$ , пропорционального числу дислокационных петель, генерируемых при одном акте ДПС, эффективный коэффициент диффузии может менять знак. ↓

<sup>1</sup> В настоящей работе выражение Видерзиха  $W_1(h)$  для вероятности ДПС используется в виде  $W = W_1^{1/2}$ , поэтому величина  $\rho h_0/b$  в нашем случае вдвое меньше, чем в [1].

- [1] Смирнов В. И. Дислокационная структура и упрочнение кристаллов. Л.: Наука, 1981. 235 с.  
 [2] Владимиров В. И., Кусов А. А. ФТТ, 1976, т. 18, № 6, с. 1523—1528.  
 [3] Wiedersich H. J. Appl. Phys., 1962, vol. 33, N 3, p. 854—858.

Физико-технический институт  
 им. А. Ф. Иоффе АН СССР  
 Ленинград

Поступило в Редакцию  
 17 декабря 1987 г.  
 В окончательной редакции  
 26 мая 1988 г.

УДК 535.37

Физика твердого тела, том 30, в. 10, 1988  
 Solid State Physics, vol. 30, № 10, 1988

## СИСТЕМАТИКА ЛИНИЙ ДИСЛОКАЦИОННОЙ ФОТОЛЮМИНЕСЦЕНЦИИ В КРЕМНИИ

А. Н. Изотов, Э. А. Штейнман

В 1976 г. в пластически деформированных образцах кремния обнаружен характерный спектр дислокационной фотолюминесценции (ДФЛ) [1] в области 0.8—1.0 эВ. Наиболее стабильно в спектре ДФЛ воспроизводятся четыре линии, обозначенные в [1] Д1—Д4 с энергиями соответственно 0.807, 0.870, 0.935, 1.0 эВ. В дальнейшем было обнаружено, что распределение интенсивности в спектре ДФЛ в значительной мере зависит от условий деформации: температуры деформации, скорости охлаждения после деформации, наличия и величины деформирующего напряжения в процессе охлаждения [2].

Электронно-микроскопическое исследование структуры образцов, подвергнутых разным режимам деформации, обнаружило существенное влияние режима деформации на структуру дислокаций. В частности, понижение температуры деформации приводит к выпрямлению сегментов дислокаций, расположенных вдоль эквивалентных направлений  $\langle 110 \rangle$  в плоскости скольжения [3]. Исследование микроструктуры ядра дислокаций показало, что практически все дислокации в кремнии имеют расщепленную конфигурацию, причем величина расщепления также зависит от режима деформации [4, 5].

Наиболее эффективное воздействие на структуру дислокаций оказывает режим так называемой двухстадийной деформации [3], заключающийся в предварительном введении дислокаций при повышенных температурах и последующей деформации при низких температурах и высоких напряжениях. Такая процедура мало меняет электрические свойства дислокаций, однако приводит к разительным изменениям в спектрах ДФЛ. Особенно заметные превращения испытывает линия Д4, которая как бы расщепляется на две компоненты: длинноволновую и коротковолновую, положение которых зависит от величины напряжения во второй стадии деформации [6]. Линия Д3 испытывает аналогичные Д4 изменения, однако ее интенсивность резко падает, что затрудняет ее исследование. Линии Д1 и Д2 не испытывают сколько-нибудь заметного сдвига или расщепления, однако в некоторых образцах после второй стадии деформации их интенсивность заметно падает [6].

Важно отметить, что длинноволновая компонента Д4, обозначенная нами Дх, в своем смещении в зависимости от нагрузки проходит ряд дискретных положений [6]. Спектроскопическое исследование этой линии с большим разрешением показало, что она представляет суперпозицию узких линий [7]. Таким образом, изменение положения линии означает постепенную последовательную перекачку интенсивности из одних компонент в другие.